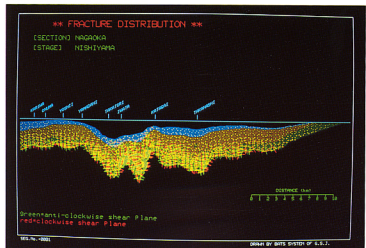


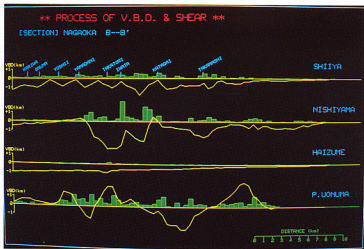
堆積盆地構造解析用シミュレーター

小玉 喜三郎
Kisaburo KODAMA

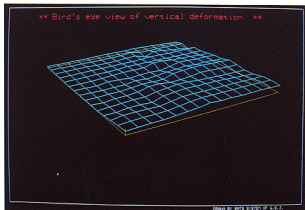


←図1

長岡平野地下深部に推定される断裊系分布(西山層堆積期)。(本文P.13 参照)。



同。各テクトニック・ステップの最適基盤変位(折線グラフ)と基底部の歪量(棒グラフ)。
(本文P.13 参照)。



←図3

千葉県茂原地域の第四紀後期における仮想基盤変位(深度3km)。
(本文P.13 参照)。

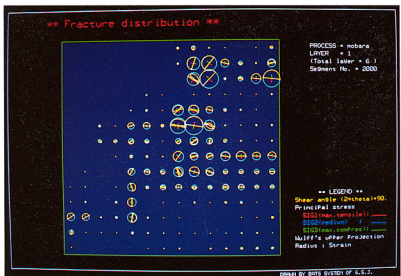


図5

同。 最適基盤変位による仮想基盤の変形形態 (本文P.13参照)。

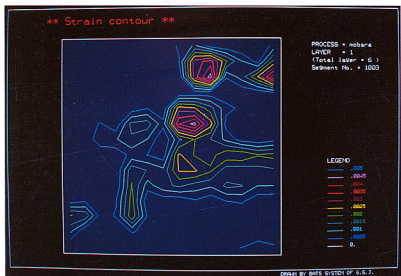


図5

同。 最下位層の歪分布。 (本文P.13参照)。

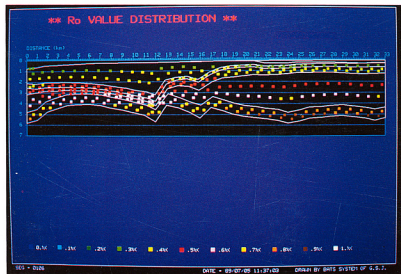


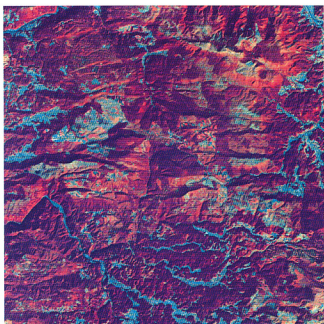
図6

モデル断面での Ro(%) 分布。 (本文P.15参照)

地質調査所の画像処理システムについて

浦井 稔・佐藤 功（地殻物理部）

Minoru URAI Iiso SATO



(a)

図7

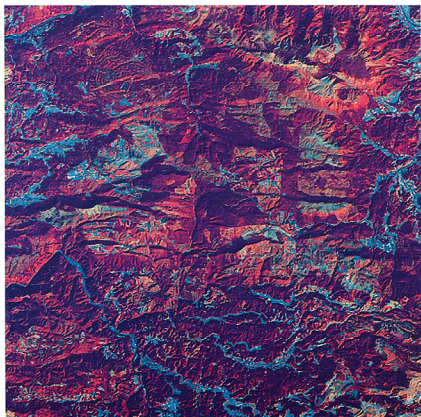
大分県北西部の万年山付近の LANDSAT TM 画像

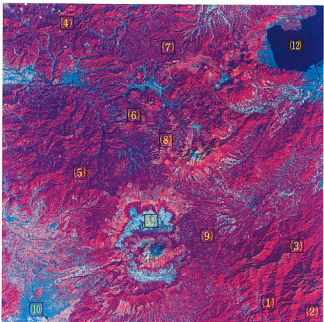
(a) バンド 4 3 2 を赤 緑 青に割り当てた画像
（原画像）

(b) 原画像にアンシャープマスキング処理をくわえバターン情報（エッジ）を強調した画像
アンシャープマスキング処理は、画像のにじみによってだけを生じた原画像(1)からその二次微分であるラプラシアン(2)を差し引くことによってエッジを強調(3)する方法である。この方法は、比較的簡単に画像のエッジを強調することができる。（本文P.17 参照）。



(b)

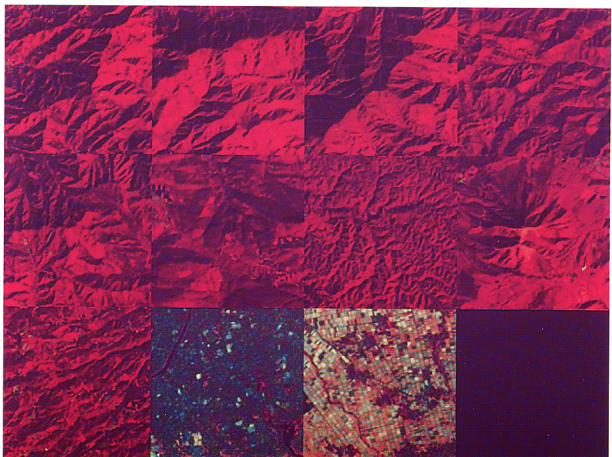




(a)

(1)	(2)	(3)	(4)
(5)	(6)	(7)	(8)
(9)	(10)	(11)	(12)

(b)



→図8

九州北部の LANDSAT TM 画像に見られるテクスチャ
 (a)九州北部の LANDSAT 5 号 TM 画像 撮影年月日 22
 /OCT/84. 軌道フレーム番号 D112-037. 太陽位置
 EL38 A 147. 画像の範囲は約90km×90km.
 (b) (a)の矩形部分を拡大したものの
 番号は左から右へ 上から下へ。各画像は3.6km×
 3.6km (128ピクセル×128ピクセル)。地質区分は20
 万分の1 地質図幅「大分」(対馬・小野 1958)および
 豊肥地熱地域地質図(玉生ほか 1982)によった。
 (本文P.18 参照)。

- (1)戸川岳 古生代 上部古生層
- (2)大崩山 中新世 花崗岩
- (3)頬山 中新世 祖母山流紋岩
- (4)英彦山東 鮮新世 宇佐層群
- (5)酒呑童子山 更新世前期 砂紫濱岩
- (6)万年山 更新世中期 万年山溶岩
- (7)深耶馬溪 更新世中期 耶馬溪溶結凝灰岩
- (8)涌蓋山 更新世後期 涌蓋山溶岩
- (9)波野原 更新世後期 阿蘇火砕流
- (10)熊本市 市街地
- (11)阿蘇谷 水田
- (12)別府湾 海